УДК 543.42+547.918

ХИМИЯ

Таблица 1

А. К. ДЗИЗЕНКО, В. В. ИСАКОВ, Н. И. УВАРОВА, Г. И. ОШИТОК, член-корреспоидент АН СССР Г. Б. ЕЛЯКОВ

СПЕКТРЫ Я.М.Р.-Н¹ АЦЕТИЛИРОВАННЫХ СТЕРОИДНЫХ ТРИТЕРПЕНОВЫХ ГЛИКОЗИДОВ

В настоящее время благодаря успешному применению метода я.м.р.- H^1 ири исследовании моно- и олигосахаридов ($^{1-3}$) спектры я.м.р.- H^1 могут поволить решать вопросы конфигурации гликозидной связи, строения углеводного компонента в гликозидах и взаимного влияния углеводной цени и агликона. Имеющиеся в литературе сведения в основном ограничены работами по исследованию сигнала аномерного протона в гликозидах с одним моносахаридным остатком ($^{4-6}$).

В этой работе изучены спектры я.м.р.-Н¹ ацетилированных глюкозидов и мальтозидов некоторых стереидов и тритериенов с целью установления конфигурации гликозидной связи и выявления закономерностей в поведении сигналов протонов углеводных колец и агликона. Соединения синтезированы на основе ортоэфирного метода гликозилирования (7, 8).

Анализ спектров ацетилированных глюкопиранозидов (табл. 1) холестерина (I), β-ситостерина (II) показывает, что сигнал протона при гликозидном углеродном атоме моносахаридного кольца (H-1) имеет химиче-

Химические сдвиги (δ) и константы спин-спинового взаимодействия (гц) сигналов кольцевых протонов в спектрах ацетилированных стероидных и тритерпеновых гликозидов

| Соединение | Кольцо | Протоны | | | | | | |
|--|---------------------|---|---|--|---|------------------------|-----------------------------|-----------------------------|
| | | H-1 | H- 2 | H-3 | H-4 | H -5 | H-6 | H-6' |
| I. β-D-глюкопи- ранозид холе- | A | 4,60 (8,0) | 4,97 (8,0; 8,5) | 5,24 * — | 5,06 * | 3,66 | 4,27 (12,5; 5,1) | 4,13 (12,5; 1,8) |
| стерина II. β- <i>D</i> -глюкопи- ранозид β-си- | A | 4,59 (7,9) | 4.93 (7,9; 8,5) | 5,21 * - | 5,06 * | 3,68 — | 4,27 (12,5; 5,1) | 4,13 (12,5; 1,8) |
| тостерина III. β-D-глюкопира- нозид бетулина по С-3 | A | 4,52 (7,8) | 5,01 * — | 5,21 * — | 5,09 * — | 3,67 | 4,27 (12,5; 5,1) | 4,13 (12,5; 1,8) |
| IV. 8- <i>D</i> -глюкопи- ранозид бету- лина по C -28 | В | 4,45 (7,9) | 5,00 * | 5,25 * — | 5,07 * — | 3,68 — | 4,27 (12,5; 5,1) | 4,13 (12,5; 1,8) |
| V. Бис-о-глюнопи- ранозид бету- лина | A B | 4,52 (7,8) 4,45 | 5,01 * 5,00 * | 5,21 * 5,21 * | 5,09,* 5,09 * | 3,67 3,68 | - | <u> </u> |
| VI. а-D-Глюкопи- ранозид холе- | A | (7,9) 5,24 (3,5) | 4,81 (3,5; 10,0) | 5,50 (10,0; 9,5) | 5,04 (9,5; 9,5) | 3,70-4,40 | 3,70-4,40 | 3,70-4,40 |
| стерина VII. Мальтозид хо- лестерина | A | 4,60 (8,0) 5,40 | 4,80 (8,0; 8,5) 4,84 | 5,24 (8,5; 9,0) 5,36 | 3,99 (9,0; —) 4,0 | 3,65 - 3,70-4,40 | 3,70-4,40 - 3,70-4,40 | 3,70-4,40 - 3,70-4,40 |
| VIII. Мальтозид β-ситостерина | A | | (4,0; 10,2) 4,81 (7,9; 8,7) 4,83 | (10,2; 9,5) 5,24 (8,7; 9,5) 5,35 | (9,5; 9,5) 4,00 (9,0; —) 5,02 | 3,65 3,70—1,40 | 3,70-4,40 3,70-4,40 | 3,70-4,40 3,70-4,40 |
| IX. Мальтозид бе- тулина по C-3 | A A ₁ | $ \begin{array}{c c} (1,0) \\ 4,55 \\ (7,9) \\ 5,40 \end{array} $ | (4,0; 10,0) 4,85 (7,9; 8,5) 4,84 | (10,0; 9,5) 5,25 (8,5; 9,1) 5,36 | $ \begin{array}{c c} (9,5; 9,5) \\ 4,04 \\ (9,1; -) \\ 5,02 \end{array} $ | 3,70-4,40 3,70-4,40 | 3,70-4,40 | 3,70-4,40 |
| X. Мальтозид бе- тулина по C-28 | A | (3,9) | (3,9; 10,0) 4,82 (7,8; 8,3) 4,84 | (10,0; 9,5) 5,26 (8,3; 9,5) 5,38 (10,0; 9,5) | (9,5; 9,5) 4,04 (9,5; —) 5,03 | 3,69 3,70-4,40 | 3,70-4,40 | 3,70-4,40 |

^{*} В случае АВХУ — приближение не правомерно.

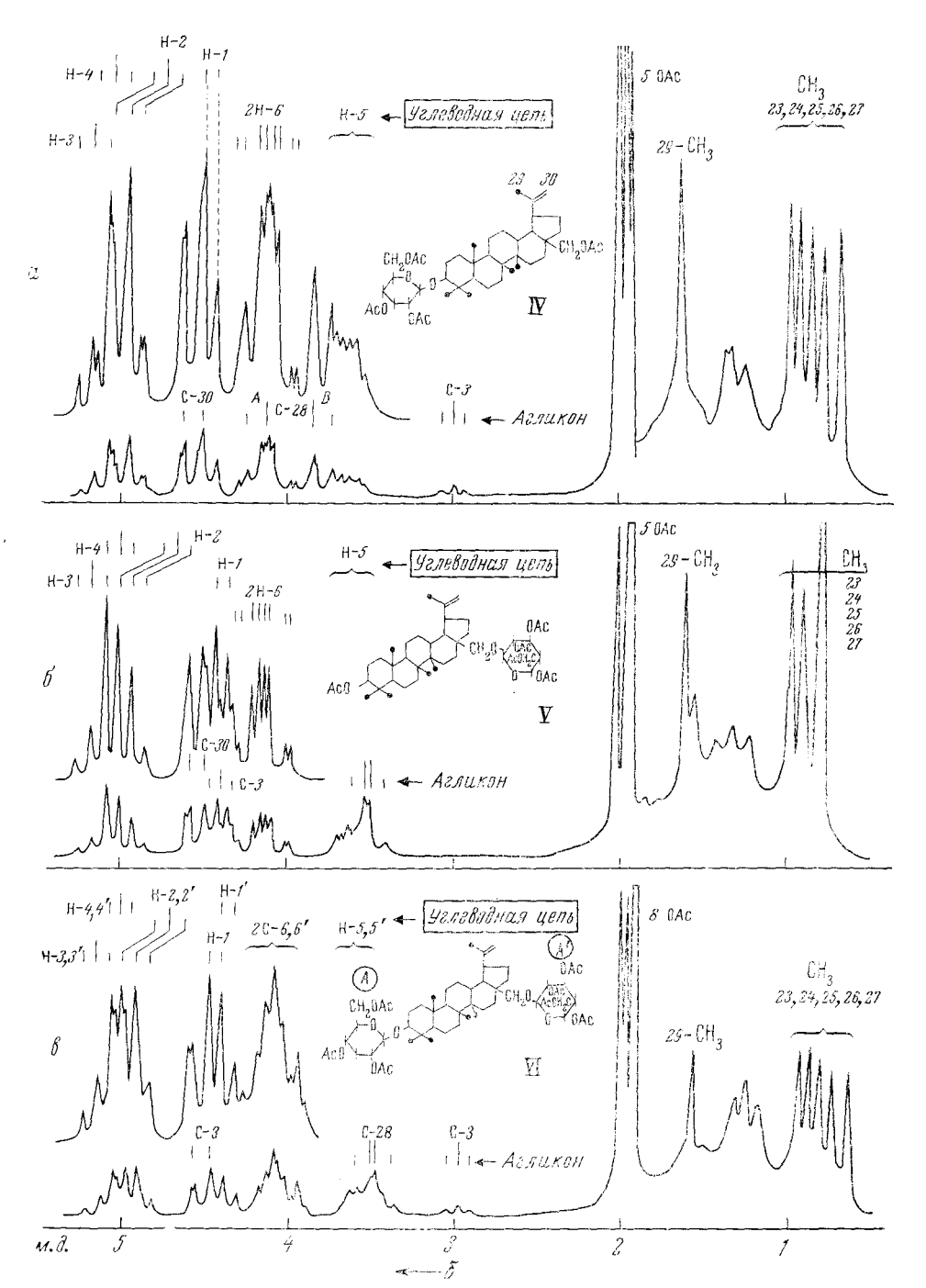


Рис. 1. Спектры я.м.р.-Н 1 (100 мгд) ацетилированных глюковидов бетулина в CDCl $_3$: β -D-глюкопиранозид бетулина по C-3 (a), по C-28 (δ), бис- $(\beta$ -D-глюкопиранозид) бетулина (θ)

ский сдвиг $\delta=4,60$ м.д. $(J_{1,\;2}=7,9$ гц), а в случае глюкопиранозидов бетулина (рис. 1) по C-3 (III) и C-28 (IV) имеет меньший химический сдвиг: $\delta=4.52$ м.д. $(J_{1,\;2}=7,8$ гц) и $\delta=4,45$ м.д. $(J_{1,\;2}=7,9$ гц) соответственно. В спектре (рис. 1) бис-о-глюкопиранозида бетулина (V) наблюдаются оба дублета, позволяющие говорить о месте привязки глюкопиранозных колец.

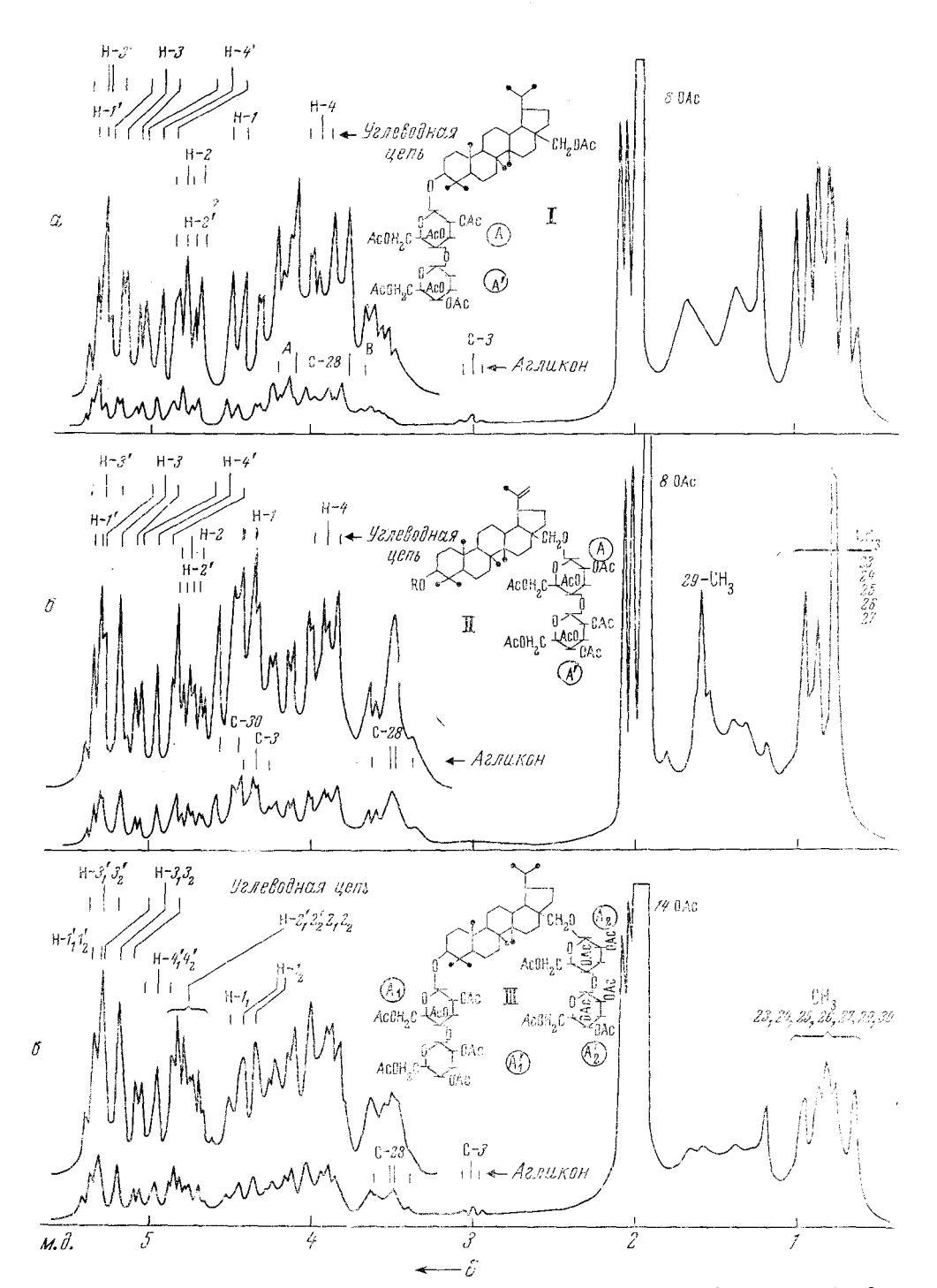


Рис. 2. Спектры я.м.р.-Н 1 (100 мгц) ацетилированных мальтозидов бетулина в CDCI $_3$: β -D-мальтозид бетулина по C-3 (a), по C-28 (δ), бис-(β -D-мальтозид) бетулина (ϵ)

Сигнал протона H-2 во всех случаях имеет триплетный характер ($J_{2,4}\sim J_{2,3}\simeq 8$ гд) при $\delta=4,95-5,05$ м.д., а для протонов H-3 и H-5 наблюдаются величины химических сдвигов (табл. 1), характерные для β -гликозидных связей в октавцетатах дисахаридов (3). Протопы H-6, H-6′ образуют AB-часть ABX-системы ($\Delta\delta_{\rm AB}=0,14$ м.д., $J_{\rm AB}=12,5$ гц, $J_{\rm AM}=$

= 5,1 гц, $J_{\rm Bx}=4,8$ гц). Все эти данные указывают на β -конфигурацию гликозидной связи в рассмотренных соединениях. Для соединения с α -гликозидной связью — тетраацетат- α -D-гликопиранозид-холестерина (VI) сигнал протона H-2 проявляется квартетом ($J_{2,4}=3,5$ гц, $J_{2,3}=10,0$ гц) и имеет меньший химический сдвиг ($\Delta\delta=0,16$ м.д.), чем в случае β -гликозидной связи. При этом сигнал протона H-3 смещается в слабое поле на $\Delta\delta=0,25$ м.д. за счет 1,3-диаксиального дезэкранирующего эффекта гликозидной связи.

Принимая во внимание результаты полученные выше, нами были изучены спектры (табл. 1) ацетилированных мальтозидов холестерина (VII), β -ситостерина (VIII) и бетулина (рис. 2) по C-3 (IX), C-28 (X), бис-омальтозида (XI). В этом случае необходимо различать сигналы протонов колец А и A_1 (А — моносахаридное кольцо, связанное с агликоном, A_1 — следующее кольцо моносахаридной цепи). Протон H-1 кольца А дает дублетный сигнал ($J_{1,2} \simeq 8$ гц) и имеет δ 4,59—4,60 м.д. в случае мальтозидов стероидов, а для мальтозидов бетулина (рис. 2) в зависимости от места положения δ = 4,55 м.д. (C-3) и δ = 4,45 (C-28). В спектре био-о-мальтозида бетулина (рис. 2) в спектре наблюдаются оба дублета.

Дополнительное моносахаридное кольцо A_1 за счет 2,4-аксиально-экваториального взаимодействия приводит к сдвигу сигнала протона H-2 кольца A в сильное поле на $\Delta \delta = 0,15$ м.д. по сравнению с его положением в глюкопиранозидах. Химические сдвиги протонов H-3 и H-5 кольца A (табл. 1) также указывают на β -конфигурацию гликозидной связи кольца A с агликоном в соединениях (VII—XI). На α -конфигурацию гликозидной связи между моносахаридными остатками указывают сигналы протонов H-1 ($\delta = 5,40$ м.д., $J_{1,2} = 4,0$ гд) и H-2 ($\delta = 4,83$ м.д., $J_{2,1} = 4,0$ гц. $J_{2,3} = 10.0$ гц) кольца A_1 .

Анализ сигналов протонов агликона показывает, что замена гидроксильной группы при С-3 на углеводный компонент в бетулине ведет к изменению величин химических сдвигов сигналов С-23, С-24, С-25 метильных групп. Замена гидроксильной группы при С-28 в бетулине на углеводный компонент меняет характер сигналов метиленовой группы: если в первом случае сигналы метиленовой группы образуют четкую AB-систему ($J_{AB}=10.8$ гц, $\Delta\delta_{AB}=0.40$ м.д.), то во втором близкую к A_2 ($J_{AB}=10.5$ гц, $\Delta\delta_{AB}=0.08$ гц).

Таким образом, данные спектроскопии я.м.р.-Н указывают на стереоспецифичность ортоэфирного метода, приводящего к синтезу только β-аномеров. Установленные закономерности в спектрах, помимо определения конфигурации гликозидной связи, позволяют говорить о месте присоединения углеводного компонента в гликозидах.

Институт биологически активных веществ Дальневосточного научного центра Академии наук СССР Владивосток

Поступило 27 IV 1972

ЦИТИРОВАННАЯ ЛИТЕРАТУРА

¹ R. V. Lemieux, J. D. Stevens, Canad. J. Chem., 43, 2059 (1965). ² W. W. Binkley, D. Horton, N. S. Bhacca, Carbohydr. Res., 10, 245 (1969). ³ M. Matsui, M. Okada, Chem. Pharm. Bull., 19, 365 (1971). ⁴ J. Tsuruki, K. Tanaka, Bull. Chem. Soc. (Japan), 40, 1208 (1967). ⁵ R. Goutrel, Kémiai Közlemenyek, 34, 155 (1970). ⁶ R. B. Conrow, S. Bernstein, T. Org. Chem., 7, 863 (1971). ⁷ H. H. Уварова, Г. И. Ошиток и др., Жури. прикл. спектроскоп., 6, 842 (1971). ⁸ H. H. Уварова, Г. И. Ошиток и др., ДАН, 202, 2, 368 (1972).